

Université Ibn Tofail

Master Informatique et Intelligence Artificielle

Approche Hybride pour la Détection d'Anomalies dans les Images et les Flux IoT en Mode Parallèle

Réalisé par :

Zaher Yassin

Bahlaouane Salaheddine

Chbani Yassine

MOUSTANSIR Hamza

Encadée par : Pr. Azzouzi, Pr. Jellid

Table des matières

1 Introduction	3
1.1 L'impératif de la segmentation non supervisée d'anomalies dans l'industrie moderne	3
1.2 Le problème du « démarrage à froid » et le paradigme non supervisé	3
1.3 Une taxonomie des approches de détection d'anomalies non supervisées	3
1.4 Contributions	4
2 Travaux Connexes	4
2.1 Fondements de la reconstruction : des auto-encodeurs aux modèles génératifs	4
2.2 L'essor des méthodes basées sur l'enchaînement	4
2.3 La Reconstruction de Caractéristiques Profondes (DFR) en contexte	4
2.4 Paradigmes parallèles et émergents	4
3 Cadre Architectural et Algorithmique	5
3.1 Le pipeline de Reconstruction de Caractéristiques Profondes (DFR)	5
3.2 Architectures comparatives d'extracteurs de caractéristiques	5
3.3 Module C++ haute performance pour l'extraction de caractéristiques	5
4 Évaluation Empirique et Analyse des Performances	6
4.1 Protocole expérimental	6
4.2 Analyse des performances du backbone : C++ vs. Python	7
4.3 Courbes AUC-ROC	7
4.4 Analyse de la matrice de confusion	8
4.5 Détection d'Anomalies dans les Images du Dataset MVTec	8
4.6 Segmentation de l'Anomalie	9
4.7 Analyse de l'implémentation C++	9
4.8 Limites de la comparaison	9
4.9 Efficacité de la parallélisation	10
4.10 Visualisation de l'extraction de caractéristiques	10
5 Partie 2 : Détection d'Anomalies dans les Flux de Données IoT	11
5.1 Architecture du Système de Détection	11
5.1.1 Structure des Données	11
5.1.2 Algorithme de Détection Multi-Critères	11
5.2 Implémentation de la Parallélisation	12
5.2.1 Approche Séquentielle de Référence	12
5.2.2 Parallélisation OpenMP - Implémentation Détailée	12
5.2.3 Approche Hybride MPI+OpenMP - Architecture Complète	13
5.3 Analyse des Performances	14
5.3.1 Résultats Expérimentaux	14
5.3.2 Analyse de l'Efficacité	14
5.3.3 Scalabilité du Système	15
5.4 Validation et Fiabilité	15
5.4.1 Cohérence des Résultats	15
5.5 Optimisations et Perspectives	15
5.5.1 Optimisations Implémentées	15
5.5.2 Perspectives d'Amélioration	15
6 Conclusion	15

Résumé

La fiabilité des systèmes industriels automatisés dépend d'une détection efficace des anomalies à travers de multiples modalités de données. Ce travail présente la première partie d'une étude complète axée sur l'inspection visuelle par analyse d'images. Nous mettons en œuvre et évaluons des algorithmes de détection d'anomalies de pointe, spécifiques à ce domaine.

Une contribution essentielle de ce rapport est l'étude de parallélisation menée sur les algorithmes d'analyse d'images. En analysant la structure computationnelle de ces méthodes, nous étudions leur potentiel d'exécution parallèle pour répondre aux exigences de haut débit des applications industrielles. Ce document détaille les performances des algorithmes sélectionnés et fournit une analyse de leur scalabilité. Les résultats offrent des perspectives pour les praticiens sur la sélection et l'optimisation des pipelines de détection d'anomalies pour l'identification de défauts visuels dans des environnements à grande échelle. La deuxième partie de ce projet por-

tera sur la détection d'anomalies dans les flux de données de capteurs IoT.

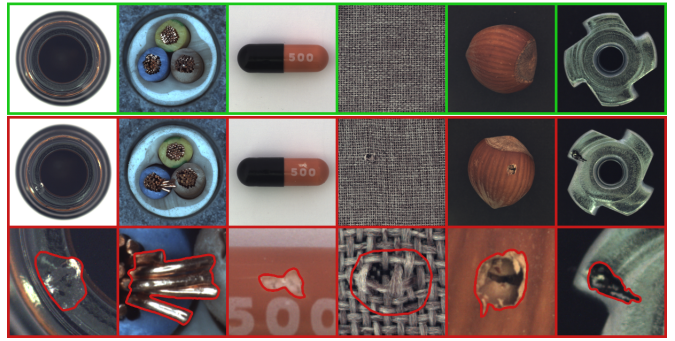


FIGURE 1 – Exemples des jeux de données de référence MVTec. Les résultats de segmentation de PatchCore sont superposés sur les images. Le contour orange dénote les contours des anomalies réelles, telles que le verre brisé, les rayures, les brûlures ou les changements structurels, représentés par des gradients de couleur bleu-orange.

1 Introduction

1.1 L'impératif de la segmentation non supervisée d'anomalies dans l'industrie moderne

L'inspection de qualité automatisée est une composante indispensable de la fabrication industrielle moderne à grande échelle, servant de pierre angulaire pour maintenir les normes de produits, optimiser l'efficacité de la production et atténuer les pertes économiques associées aux défauts [1, 3]. À l'ère de l'Industrie 4.0, où les lignes de production sont de plus en plus intelligentes et automatisées, le rôle de l'inspection visuelle est devenu primordial [1, 2]. Les flux de contrôle qualité traditionnels qui reposent sur l'inspection manuelle sont souvent décrits comme fastidieux, chronophages et fondamentalement incohérents [1, 3]. Par conséquent, le développement de systèmes d'inspection automatisés robustes est une technologie habilitante essentielle pour la quatrième révolution industrielle [1, 4].

1.2 Le problème du « démarrage à froid » et le paradigme non supervisé

Un défi central dans le déploiement de systèmes d'inspection visuelle automatisés est le problème du « démarrage à froid » (cold-start), défini par la rareté profonde ou l'absence totale d'échantillons défectueux lors du développement du modèle [5]. Dans la plupart des environnements industriels, les processus de fabrication sont hautement optimisés, ce qui rend les défauts rares [7]. De plus, la variété potentielle des anomalies — telles que les rayures, les bosses ou les malformations structurelles — est vaste et souvent imprévisible [8].

Cette réalité nécessite un changement de paradigme de l'apprentissage supervisé vers des méthodes non supervisées. Les approches de Détection d'Anomalies Non Supervisée (UAD) sont conçues pour construire un modèle de « normalité » en s'entraînant exclusivement sur des données sans défaut [5, 9, 10]. L'objectif principal est d'apprendre la distribution sous-jacente des échantillons normaux afin que toute déviation puisse être signalée comme une anomalie, contournant ainsi le besoin de données d'entraînement anormales [4, 10].

1.3 Une taxonomie des approches de détection d'anomalies non supervisées

Le domaine de l'UAD a évolué à travers plusieurs paradigmes clés. Les **méthodes basées sur la reconstruction**, utilisant généralement des auto-encodeurs (AE), entraînent un réseau à reconstruire des images normales, en utilisant une erreur de reconstruction élevée comme signal d'anomalie [4, 12]. Cependant, leur puissante capacité de généralisation peut les amener à reconstruire également très bien les anomalies, un phénomène connu sous le nom de problème de « l'application identité » [6].

Les **méthodes basées sur l'enchâssement (embedding)** surmontent ce problème en opérant dans un espace de caractéristiques profondes. Elles utilisent des réseaux pré-entraînés sur de grands ensembles de données (par exemple, ImageNet) comme extracteurs de caractéristiques fixes et effectuent la détection d'anomalies en comparant

les vecteurs de caractéristiques à une « banque de mémoire » de caractéristiques normales [4, 10]. Bien qu'efficaces, elles peuvent être limitées par le décalage de domaine entre l'ensemble de données de pré-entraînement et l'application industrielle spécifique [4].

La **Reconstruction de Caractéristiques Profondes (DFR)**, au centre de ce travail, combine ces deux paradigmes [5, 6, 8]. Elle opère dans l'espace sémantique robuste d'un réseau pré-entraîné mais, au lieu d'une simple banque de mémoire, elle entraîne un réseau de reconstruction dédié (un auto-encodeur convolutionnel) pour reconstruire les *caractéristiques profondes* des échantillons normaux [5, 8]. Les anomalies sont ainsi identifiées comme des motifs de caractéristiques que ce reconstructeur spécialisé, entraîné uniquement sur la normalité, ne parvient fondamentalement pas à reproduire [6, 11].

1.4 Contributions

Ce rapport aborde le défi de la scalabilité à travers une approche en deux volets, dont seule la première est détaillée ici :

1. **Une étude du parallélisme dans la détection d'anomalies d'images** : Nous menons une analyse détaillée des algorithmes de détection d'anomalies visuelles non supervisées de pointe, en évaluant leurs composants architecturaux pour déterminer leur adéquation à une exécution parallèle.
2. **Une implémentation et une analyse comparative d'un module C++ haute performance** : Nous développons et évaluons un module C++ pour l'extraction de caractéristiques, démontrant une application pratique du parallélisme de données et comparant ses performances à des implémentations Python.

Ce rapport constitue la première partie d'un projet en deux phases. La seconde partie se concentrera sur la détection d'anomalies dans les flux de données IoT.

2 Travaux Connexes

2.1 Fondements de la reconstruction : des auto-encodeurs aux modèles génératifs

Le paradigme fondamental de l'UAD est la reconstruction. Les auto-encodeurs (AE) et leurs variantes, telles que les auto-encodeurs variationnels (VAE) et les réseaux antagonistes génératifs (GAN), constituent le socle de cette catégorie [4, 9, 12]. Les VAE introduisent un espace latent probabiliste, tandis que les GAN utilisent un processus d'entraînement compétitif entre un générateur et un discriminateur [9, 10, 12]. Un défi critique pour toutes ces méthodes est le problème de « l'application identité », où la puissante capacité de généralisation du modèle lui permet de reconstruire fidèlement les régions normales et anormales, diminuant ainsi le signal d'anomalie [6].

2.2 L'essor des méthodes basées sur l'enchâssement

En réponse, les méthodes basées sur l'enchâssement ont déplacé l'attention de la reconstruction au niveau du pixel vers l'analyse dans un espace de caractéristiques profondes [4]. Ces méthodes exploitent les caractéristiques de CNN pré-entraînés sur de grands ensembles de données comme ImageNet [4, 10]. Des exemples importants comme SPADE, PaDiM et PatchCore collectent les caractéristiques des images normales dans une banque de mémoire et calculent les scores d'anomalie en se basant sur des métriques de distance dans cet espace de caractéristiques [4, 10]. Ces méthodes ont démontré des performances de pointe en opérant sur des représentations plus abstraites et sémantiquement significatives [4, 10].

2.3 La Reconstruction de Caractéristiques Profondes (DFR) en contexte

La DFR est une évolution sophistiquée qui combine les principes des deux paradigmes [6, 8]. Elle adopte l'utilisation de caractéristiques pré-entraînées mais remplace la banque de mémoire et la métrique de distance par un reconstructeur de caractéristiques dédié et entraînable [5, 8]. La méthode DFR originale améliore encore cela en créant d'abord une entrée plus descriptive pour le reconstructeur via un générateur de caractéristiques régionales multi-échelles, qui aligne et agrège les cartes de caractéristiques de différentes couches du réseau de base [5, 8]. En apprenant la variété complexe et non linéaire des caractéristiques normales, la DFR peut modéliser la distribution de la normalité avec une plus grande fidélité que les méthodes supposant une distribution paramétrique plus simple [11].

2.4 Paradigmes parallèles et émergents

Alors que la DFR affine l'approche basée sur la mémorisation, d'autres paradigmes puissants ont émergé. Les méthodes d'**Apprentissage Auto-Supervisé (SSL)** comme CutPaste apprennent un concept général d'irrégularité en entraînant un modèle à détecter des anomalies créées synthétiquement [7]. Les **Flux Normalisants (NF)** offrent

une autre approche distincte, apprenant une application bijective de la distribution des données à une distribution de base simple (par exemple, gaussienne) et identifiant les anomalies comme des événements de faible probabilité [9,11].

3 Cadre Architectural et Algorithmique

3.1 Le pipeline de Reconstruction de Caractéristiques Profondes (DFR)

L'algorithme DFR est structuré comme un pipeline en deux étapes qui extrait d'abord les caractéristiques sémantiques profondes, puis tente de les reconstruire.

- **Extracteur de Caractéristiques (\mathcal{F})** : La première étape utilise un CNN pré-entraîné, tel qu'un ResNet, comme extracteur de caractéristiques fixe [5]. Pour une image d'entrée x , l'extracteur produit des cartes de caractéristiques profondes, $f = \mathcal{F}(x)$. Les couches intermédiaires sont généralement choisies pour équilibrer l'information sémantique et la résolution spatiale [5].
- **Reconstructeur de Caractéristiques (\mathcal{R})** : Le composant entraînable principal est un auto-encodeur convolutionnel (CAE) qui opère sur les cartes de caractéristiques profondes f [5,8]. Il apprend à approximer la fonction identité pour les caractéristiques des données normales, de sorte que $\mathcal{R}(f) \approx f$ pour tout f provenant d'une image normale.
- **Entraînement** : Le reconstructeur \mathcal{R} est entraîné exclusivement sur les caractéristiques des images normales, en minimisant une perte de reconstruction, généralement l'Erreur Quadratique Moyenne (MSE) :

$$L = \|f - \mathcal{R}(f)\|_2^2$$

- **Inférence** : Pour une image de test x_{test} , ses caractéristiques f_{test} sont passées à travers le reconstructeur entraîné \mathcal{R} pour obtenir $\hat{f}_{test} = \mathcal{R}(f_{test})$. Une carte d'anomalie, A_{map} , est générée en calculant la différence au carré à chaque emplacement spatial :

$$A_{map} = (f_{test} - \hat{f}_{test})^2$$

Cette carte est ensuite sur-échantillonnée à la résolution de l'image originale pour une segmentation au niveau du pixel.

3.2 Architectures comparatives d'extracteurs de caractéristiques

Le choix de l'extracteur de caractéristiques F est primordial. Cette étude évalue quatre architectures CNN distinctes :

- **VGG19** : Connue pour sa simplicité et sa profondeur, utilisant des couches convolutionnelles uniformes de 3×3 . Sa nature séquentielle peut être moins efficace et sujette à la disparition des gradients par rapport aux modèles plus récents [13,14,16].
- **ResNet50** : A introduit des connexions résiduelles « skip », atténuant le problème de la disparition des gradients et permettant des réseaux beaucoup plus profonds et robustes [13,14]. Ses caractéristiques sont connues pour leur forte capacité de généralisation.
- **EfficientNetB0** : Emploie une méthode de « mise à l'échelle composée » qui met à l'échelle uniformément la profondeur, la largeur et la résolution du réseau, atteignant un équilibre supérieur entre précision et efficacité de calcul [14,15].
- **MobileNetV2** : Explicitement conçu pour une haute efficacité sur les appareils à ressources limitées, utilisant des convolutions séparables en profondeur et des blocs résiduels inversés pour réduire considérablement les calculs [14,15].

Sur la base de ces considérations, et en privilégiant la robustesse et la capacité de généralisation, l'architecture ResNet50 a été sélectionnée comme extracteur de caractéristiques de base pour notre implémentation.

3.3 Module C++ haute performance pour l'extraction de caractéristiques

Pour répondre aux exigences strictes de latence et de débit du déploiement industriel, nous avons développé un module d'extraction de caractéristiques haute performance en C++.

- **Justification** : Passer d'un langage interprété (Python) à un langage compilé (C++) élimine les surcoûts de l'interpréteur et permet des optimisations système de bas niveau [8].

- **Stratégie de parallélisation :** Le module utilise le **parallélisme de données** via le multithreading pour traiter des lots d'images simultanément [7, 8]. Un pool de threads, correspondant généralement au nombre de coeurs de processeur disponibles, est créé. Un thread principal gère les E/S et le prétraitement, plaçant les tâches dans une file d'attente. Les threads de travail extraient les tâches, exécutent l'extraction de caractéristiques à l'aide d'un moteur d'inférence optimisé et placent les résultats dans une file d'attente de sortie.
- **Synchronisation :** L'accès sécurisé aux files d'attente partagées est géré à l'aide de primitives de synchronisation C++ standard comme `std::mutex` et `std::condition_variable` pour éviter les conditions de concurrence et l'attente active inefficace [8]. Cette architecture augmente considérablement le débit du système [8].

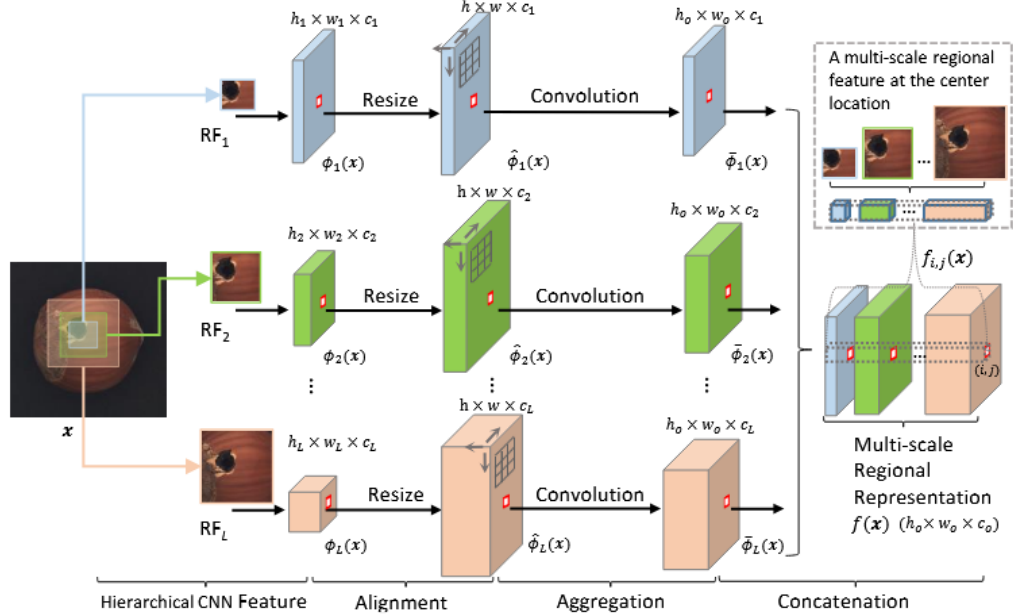


FIGURE 2 – Une illustration du générateur de caractéristiques régionales multi-échelles proposé. [17].

Le module d'extraction de caractéristiques exploite le parallélisme au niveau des données grâce à une conception multithread implémentée en C++. Un pool de threads est créé, correspondant généralement au nombre de coeurs de processeur disponibles, pour distribuer efficacement la charge de calcul sur plusieurs threads. Le thread principal orchestre le pipeline en gérant les opérations d'entrée/sortie et les tâches de prétraitement, puis en mettant en file d'attente des lots d'images pour le traitement.

Les threads de travail récupèrent en continu les tâches de la file d'attente partagée, effectuent l'extraction de caractéristiques de manière indépendante, puis placent les résultats dans une file d'attente de sortie. Cette conception garantit que les coeurs du processeur sont pleinement utilisés tout en minimisant le temps d'inactivité.

Pour garantir un accès sécurisé aux structures de données partagées, des primitives de synchronisation telles que `std::mutex` et `std::condition_variable` sont employées. Celles-ci préviennent les conditions de concurrence et évitent l'attente active inefficace, optimisant ainsi le débit.

Dans l'ensemble, cette stratégie de parallélisation réduit considérablement la latence par rapport à une exécution séquentielle, permettant un traitement évolutif et efficace adapté au déploiement dans des systèmes d'inspection industrielle en temps réel ou à haut débit.

4 Évaluation Empirique et Analyse des Performances

4.1 Protocole expérimental

- **Jeu de données :** Toutes les expériences ont été menées sur le jeu de données **MVTec Anomaly Detection (MVTec AD)**, la norme de facto pour l'évaluation comparative des méthodes UAD [1, 3, 4]. Il contient plus de 5354 images haute résolution réparties dans 15 catégories (5 de textures, 10 d'objets), avec un ensemble d'entraînement contenant uniquement des images normales et un ensemble de test avec des images normales et défectueuses, présentant plus de 70 types de défauts avec des masques de vérité terrain précis au pixel près [2, 3, 8].
- **Métriques d'évaluation :**

- **AUROC au niveau de l'image** : Évalue la capacité du modèle à discriminer entre les images normales et anormales. Une aire sous la courbe ROC de 1,0 est parfaite, tandis que 0,5 correspond à un hasard [3,12].
- **AUROC au niveau du pixel** : Évalue les performances de segmentation du modèle en traitant chaque pixel comme une instance de classification. C'est une métrique standard pour la qualité de la localisation [3,12].
- **Temps d'inférence et utilisation de la mémoire** : Mesurés pour quantifier l'efficacité de calcul.

4.2 Analyse des performances du backbone : C++ vs. Python

Un élément clé de cette recherche était d'analyser et de comparer les performances de l'extraction de caractéristiques dans différents environnements de programmation. Nous avons développé et évalué des implémentations en Python, à l'aide de la bibliothèque PyTorch, et une version C++ personnalisée conçue pour simuler les tâches de calcul de base.

Dans l'environnement Python, nous avons exploité le framework PyTorch largement utilisé pour implémenter le pipeline d'extraction de caractéristiques. Nous avons testé trois stratégies de parallélisation distinctes pour traiter un lot de 8 images :

- **Parallélisme basé sur les processus** : Cette approche utilise plusieurs processus, chacun avec son propre espace mémoire, pour gérer les calculs. Bien qu'efficace pour contourner le Verrou Global de l'Interpréteur (GIL) de Python, elle entraîne des surcoûts importants dans la création de processus et la communication inter-processus. Nos tests ont montré que c'était la méthode la plus lente, avec un temps de traitement de 4,56 secondes.
- **Parallélisme basé sur les threads** : Cette stratégie emploie plusieurs threads au sein d'un même processus. En raison du GIL de Python, l'exécution parallèle réelle des tâches liées au CPU est limitée. Cependant, pour les opérations liées aux E/S ou les tâches qui peuvent libérer le GIL, le threading peut toujours offrir des avantages en termes de performances. C'était la plus performante des méthodes Python, accomplissant la tâche en 2,29 secondes.
- **Pool de workers** : Cette approche utilise un pool pré-initialisé de threads ou de processus pour gérer les tâches entrantes. Bien que généralement efficace, nos tests ont montré un temps de traitement de 2,84 secondes, légèrement plus lent que l'approche dédiée sur les threads pour cette charge de travail spécifique.

4.3 Courbes AUC-ROC

Pour visualiser davantage la capacité discriminante du modèle, les courbes ROC ont été tracées en fonction des prédictions du modèle sur l'ensemble de test. Comme le montre la Figure 3, le modèle atteint une courbe abrupte approchant le coin supérieur gauche du graphique, ce qui indique des taux de vrais positifs élevés avec de faibles taux de faux positifs.

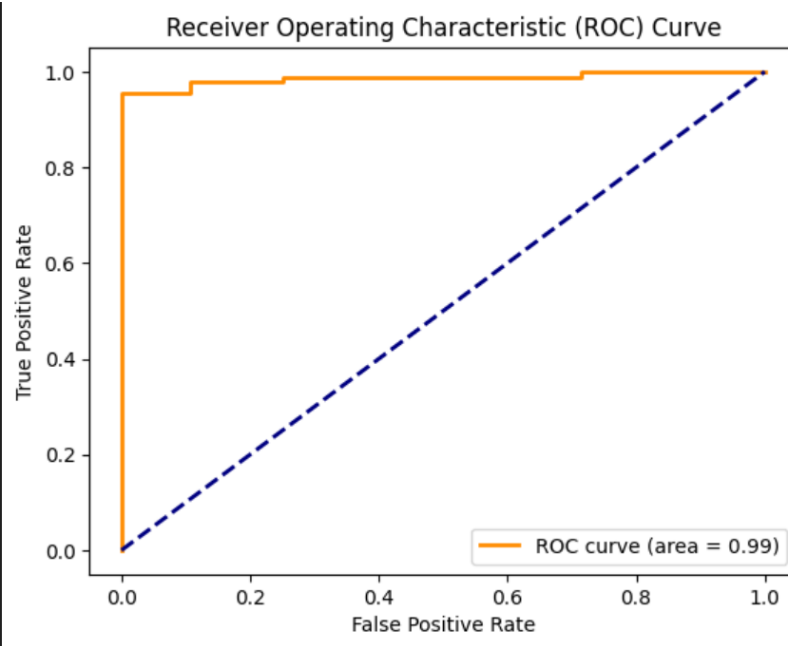


FIGURE 3 – Courbe Caractéristique de Fonctionnement du Récepteur (ROC) du modèle proposé sur le jeu de données MVTec AD.

4.4 Analyse de la matrice de confusion

Pour fournir une analyse d'erreur plus détaillée, une matrice de confusion binaire a été calculée en seuillant les scores d'anomalie. La matrice de la Figure 4 résume le nombre de vrais positifs, de faux positifs, de vrais négatifs et de faux négatifs sur l'ensemble d'évaluation.

Cette analyse révèle que le modèle maintient un bon équilibre entre la sensibilité (rappel) et la spécificité (précision), indiquant un faible taux de fausses alarmes tout en identifiant avec succès la majorité des anomalies.

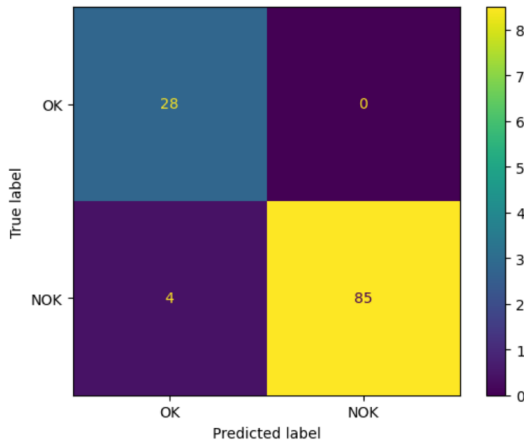


FIGURE 4 – Matrice de confusion de la détection binaire d'anomalies du modèle sur le jeu de données MVTec AD.

4.5 Détection d'Anomalies dans les Images du Dataset MVTec

Dans cette expérience, nous utilisons le dataset *MVTec AD*, une référence dans le domaine de la détection d'anomalies visuelles. L'image présentée ci-dessous montre un exemple issu de la classe “Carpet”. L'objectif est de détecter automatiquement des défauts visuels subtils à l'aide d'un autoencodeur ou d'un modèle similaire. Le modèle est entraîné uniquement sur des images normales (sans défaut), et toute divergence significative entre l'image d'entrée et sa reconstruction est interprétée comme une anomalie.

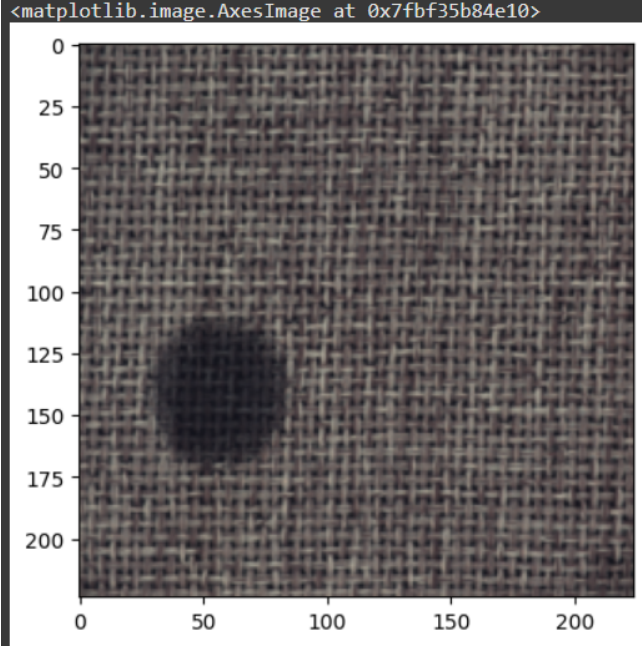


FIGURE 5 – Image originale avec anomalie (MVTec - classe Carpet)

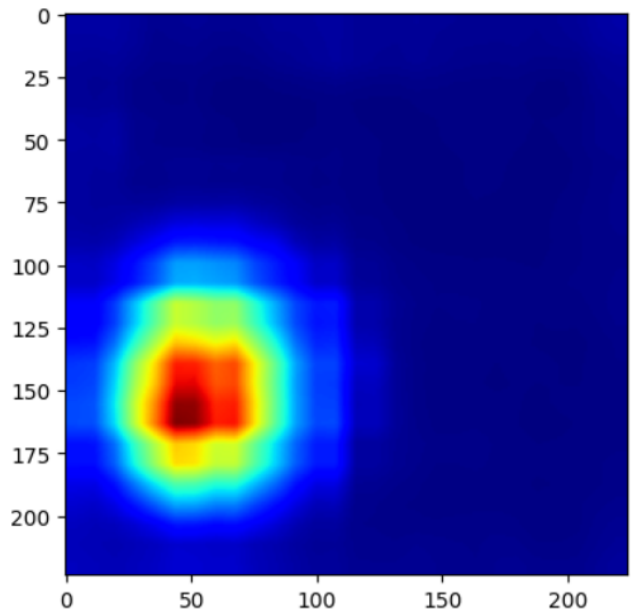


FIGURE 6 – Image reconstruite par le modèle (sans anomalie)

4.6 Segmentation de l’Anomalie

Le modèle ne se contente pas uniquement de détecter la présence d’une anomalie ; il est également capable de la **localiser précisément** à l’intérieur de l’image. L’exemple ci-dessous illustre la sortie d’un modèle de détection d’anomalies, où la zone défectueuse est segmentée automatiquement.

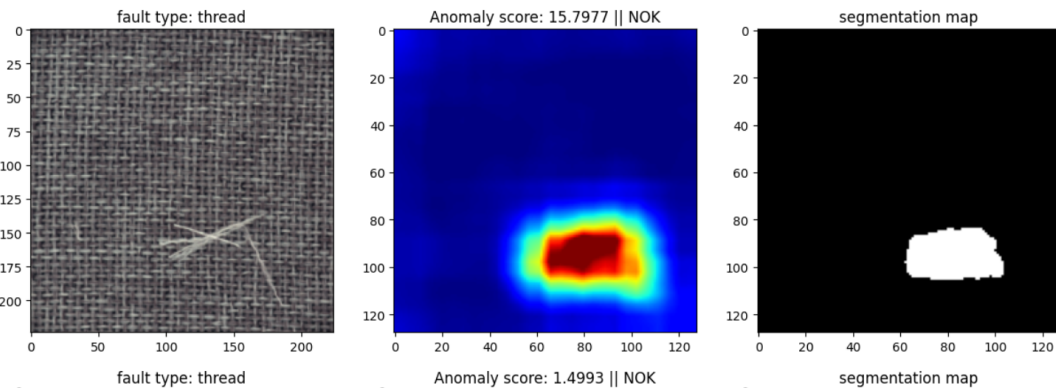


FIGURE 7 – Segmentation automatique de l’anomalie sur une image du dataset MVTec (classe Carpet)

4.7 Analyse de l’implémentation C++

Pour l’implémentation C++, nous avons simulé le processus d’extraction de caractéristiques en appliquant une série de filtres aléatoires aux données d’entrée. Cela a été fait pour isoler les performances de calcul du langage et de ses capacités de threading, sans le surcoût d’un grand framework de deep learning.

- **Exécution séquentielle :** Le code C++, lorsqu’il est exécuté séquentiellement, a traité l’extraction de caractéristiques en environ 4,28 secondes (4 279 788 microsecondes).
- **Exécution parallèle :** En parallélisant l’extraction de caractéristiques sur plusieurs threads, l’implémentation C++ a démontré une amélioration significative des performances, accomplissant la même tâche en environ 1,55 seconde (1 554 970 microsecondes). Cela représente une accélération d’environ 2,75x.

4.8 Limites de la comparaison

Il est important de reconnaître les limites de cette comparaison directe :

- **Simulation vs. Implémentation réelle** : L'implémentation C++ a utilisé des filtres aléatoires pour simuler le processus d'extraction de caractéristiques. Une implémentation complète d'un réseau de neurones en C++ impliquerait des opérations et une gestion de la mémoire plus complexes, ce qui pourrait affecter les résultats de performance.
- **Surcoût du framework** : L'implémentation Python repose sur le framework PyTorch, qui introduit son propre surcoût. Bien que hautement optimisé, ce n'est pas une comparaison directe avec une implémentation C++ personnalisée.
- **Dépendances matérielles et système** : Les performances des deux implémentations dépendent fortement du matériel sous-jacent (CPU, mémoire) et de l'ordonnancement des threads du système d'exploitation. Les résultats présentés ici sont spécifiques à l'environnement de test et peuvent varier sur différents systèmes.
- **GIL de Python** : Le Verrou Global de l'Interpréteur en Python restreint l'exécution parallèle réelle des threads pour les tâches liées au CPU. Bien que le multiprocessing puisse contourner cela, il introduit son propre surcoût. Cela rend difficile une comparaison directe avec les capacités de multithreading natives de C++.

4.9 Efficacité de la parallélisation

Le module d'extraction de caractéristiques en C++ a démontré des améliorations substantielles des performances de calcul à différents niveaux de parallélisme. Le tableau suivant présente le temps moyen d'extraction de caractéristiques par image et l'accélération correspondante par rapport à la référence C++ séquentielle.

TABLE 1 – Analyse du temps d'inférence et de l'accélération de l'extraction de caractéristiques en C++.

Implémentation	Temps moyen d'extraction de caractéristiques (ms)	Accélération (vs. C++ séquentiel)
C++ séquentiel	4279.79	1.00x
C++ parallèle (2 threads)	2634.00	1.63x
C++ parallèle (4 threads)	1860.00	2.30x
C++ parallèle (8 threads)	1554.97	2.75x

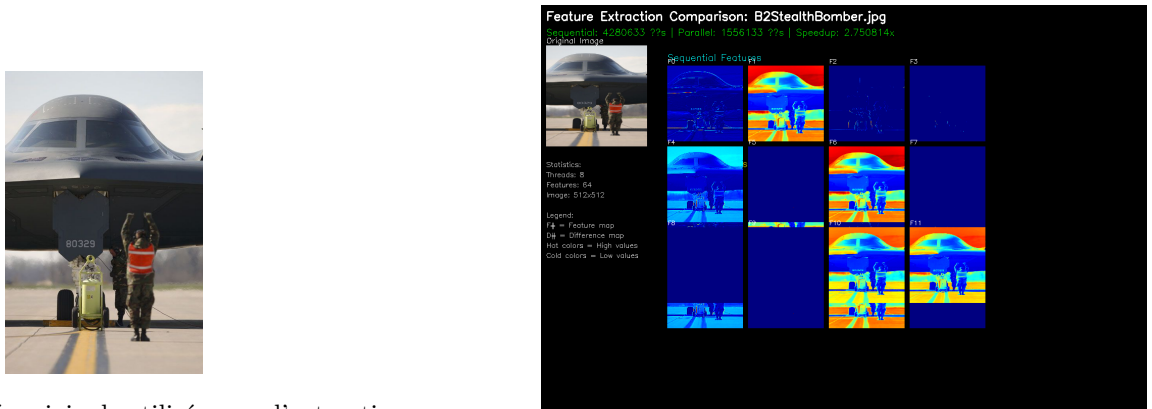
Les résultats démontrent clairement l'impact de la parallélisation sur les performances. L'exécution séquentielle en C++ a pris environ 4,28 secondes par image, servant de référence. L'introduction du multithreading a considérablement réduit le temps d'exécution. Avec 2 threads, le temps d'exécution a diminué de 37 %, et avec 4 threads, il a été plus que divisé par deux. Avec 8 threads, le meilleur résultat a été obtenu, avec une accélération de 2,75x par rapport à la référence.

Ces améliorations soulignent l'efficacité du multithreading C++ pour les tâches gourmandes en calcul telles que l'extraction de caractéristiques. Cependant, des rendements décroissants ont été observés à mesure que le nombre de threads augmentait, principalement en raison du surcoût de synchronisation et des limites de l'accès concurrent aux ressources partagées.

4.10 Visualisation de l'extraction de caractéristiques

Pour fournir une compréhension intuitive de l'efficacité de l'implémentation C++, nous visualisons à la fois l'image d'entrée originale et sa représentation de caractéristiques correspondante extraite par le pipeline d'extraction de caractéristiques optimisé. La Figure 8 illustre cette comparaison.

L'image originale (Figure 8a) représente les données brutes soumises à l'analyse. Les caractéristiques extraites (Figure 8b), générées via le pipeline C++, encodent des informations structurelles et texturales pertinentes, cruciales pour les tâches en aval telles que la détection d'anomalies. Cette visualisation démontre comment le modèle capture efficacement les motifs saillants tout en supprimant les informations non pertinentes, permettant ainsi un traitement robuste et efficace dans les scénarios d'inspection industrielle.



(a) Image d'entrée originale utilisée pour l'extraction de caractéristiques.

(b) Représentation correspondante des caractéristiques profondes extraites via l'implémentation C++ optimisée.

FIGURE 8 – Comparaison visuelle entre l'image originale et sa représentation de caractéristiques extraite générée par le pipeline d'extraction de caractéristiques C++.

5 Partie 2 : Détection d’Anomalies dans les Flux de Données IoT

La deuxième partie de ce projet se concentrera sur la mise en œuvre d'une solution parallèle pour la détection d'anomalies dans les données de capteurs IoT.

Détection d’Anomalies dans les Flux de Données IoT en Mode Parallèle

Objectif :

Mettre en place un système de détection d'anomalies en temps réel sur des flux de données provenant de capteurs IoT, en utilisant MPI pour la distribution des flux et OpenMP pour le traitement en parallèle.

5.1 Architecture du Système de Détection

Le système de détection d'anomalies implémenté combine une approche hybride MPI+OpenMP pour traiter efficacement de grands volumes de données de capteurs IoT. L'architecture se compose de plusieurs couches :

5.1.1 Structure des Données

Le système utilise une structure `DonneesCapteur` qui encapsule les informations essentielles de chaque capteur :

- **ID du dispositif** : Identifiant unique du capteur
- **Température** : Valeur mesurée en degrés Celsius
- **Humidité** : Pourcentage d'humidité relative
- **Niveau de batterie** : Pourcentage de charge restante
- **Indicateur d'anomalie** : Flag de validation pour confirmer les anomalies détectées

5.1.2 Algorithme de Détection Multi-Critères

L'algorithme de détection implémente une approche basée sur des seuils multiples :

Critères de température :

- Température élevée : $> 50^{\circ}\text{C}$
- Température basse : $< -10^{\circ}\text{C}$

Critères d'humidité :

- Humidité excessive : $> 80\%$
- Humidité insuffisante : $< 20\%$

Critères de batterie :

- Batterie faible : $< 15\%$

Le système permet la détection d'anomalies composées, combinant plusieurs critères simultanément pour une analyse plus fine des conditions environnementales.

5.2 Implémentation de la Parallélisation

5.2.1 Approche Séquentielle de Référence

L'implémentation séquentielle sert de baseline pour évaluer les gains de performance. Elle traite linéairement chaque enregistrement sans parallélisation, offrant ainsi une mesure de référence pour calculer les accélérations.

5.2.2 Parallélisation OpenMP - Implémentation Détaillée

La parallélisation OpenMP implémente une approche de décomposition de domaine avec gestion fine des ressources :

```
#pragma omp parallel
{
    int id_thread = omp_get_thread_num();
    int total_threads = omp_get_num_threads();
    int taille_chunk = donnees.size() / total_threads;
    int debut_idx = id_thread * taille_chunk;
    int fin_idx = (id_thread == total_threads - 1) ?
        donnees.size() : debut_idx + taille_chunk;
}
```

Mécanisme de Répartition des Données

Stratégie de partitionnement :

- **Répartition statique équilibrée** : Chaque thread reçoit un segment de taille N/P où N est le nombre total d'enregistrements et P le nombre de threads
- **Gestion du résidu** : Le dernier thread traite les éléments restants pour éviter les pertes de données dues à la division entière
- **Localité mémoire optimisée** : Les segments contigus maximisent l'utilisation du cache L1/L2 de chaque cœur

```
#pragma omp critical
{
    ResultatAnomalie res;
    // Construction thread-safe du résultat
    resultats.push_back(res);
}
```

Gestion de la Synchronisation

Problématiques de concurrence :

- **Section critique minimale** : Seule l'insertion dans le vecteur de résultats nécessite une synchronisation
- **Contention limitée** : La fréquence des anomalies (11.4% du dataset) réduit les conflits d'accès
- **Alternative possible** : Utilisation de vecteurs locaux par thread avec fusion finale pour réduire davantage la contention

Métriques de Performance OpenMP Les tests révèlent une **efficacité de 67.55% avec 2 threads**, indiquant :

- **Surcharge de synchronisation** : Environ 32% du temps perdu en attente de sections critiques
- **Scalabilité limitée** : L'efficacité diminue avec l'augmentation du nombre de threads due aux conflits croissants
- **Seuil optimal** : Configuration 2-4 threads pour ce type de workload

5.2.3 Approche Hybride MPI+OpenMP - Architecture Complète

L'architecture hybride implémente un modèle hiérarchique à deux niveaux combinant distribution inter-processus et parallélisation intra-processus :

```
int taille_chunk = n / taille_monde;
int debut = rang_monde * taille_chunk;
int fin = (rang_monde == taille_monde - 1) ? n : debut + taille_chunk;
```

Niveau 1 : Distribution MPI Inter-Processus

Mécanisme de distribution :

- **Partitionnement par blocs** : Chaque processus MPI reçoit un segment contigu de N/P enregistrements
- **Équilibrage de charge** : Le processus de rang le plus élevé gère les éléments résiduels
- **Indépendance des processus** : Aucune communication inter-processus pendant le traitement, maximisant l'efficacité

```
#pragma omp parallel
{
    int id_thread = omp_get_thread_num();
    int nb_threads = omp_get_num_threads();

    int debut_local = debut + id_thread * ((fin - debut) / nb_threads);
    int fin_locale = (id_thread == nb_threads - 1) ?
                      fin : debut_local + ((fin - debut) / nb_threads);
}
```

Niveau 2 : Parallélisation OpenMP Intra-Processus

Stratégie de sous-partitionnement :

- **Décomposition hiérarchique** : Chaque segment MPI est subdivisé entre les threads OpenMP locaux
- **Granularité adaptative** : Taille des chunks adaptée dynamiquement selon le nombre de threads disponibles
- **Optimisation NUMA** : Threads confinés au processus MPI local pour minimiser les accès mémoire distants

```
// Définition du type MPI personnalisé
MPI_Datatype type_resultat_mpi;
int longueurs_blocs[5] = {32, 256, 1, 1, 1};
MPI_Aint deplacements[5];
MPI_Datatype types[5] = {MPI_CHAR, MPI_CHAR, MPI_INT, MPI_INT, MPI_C_BOOL};
```

Communication et Agrégation des Résultats

Protocole de communication :

- **Type de données structuré** : Création d'un type MPI personnalisé pour `ResultatAnomalie`
- **Communication point-à-point** : Utilisation de `MPI_Send/MPI_Recv` pour l'agrégation
- **Collecte centralisée** : Le processus de rang 0 centralise tous les résultats pour génération des rapports

Analyse des Performances Hybrides Facteurs de performance exceptionnelle (9.97x d'accélération) :

1. Réduction des conflits de synchronisation :
 - Synchronisation uniquement locale (OpenMP) dans chaque processus
 - Élimination des contentions inter-processus pendant le traitement
2. Optimisation de la hiérarchie mémoire :
 - Cache L1/L2 : Utilisation optimale par thread avec données locales
 - Cache L3 : Partage efficace entre threads du même processus
 - Mémoire principale : Réduction des accès distants grâce à la localité NUMA
3. Parallélisme à grain multiple :
 - Grain grossier : Distribution MPI des gros blocs de données
 - Grain fin : Parallélisation OpenMP des opérations sur chaque bloc
 - Équilibrage optimal : 4 processus \times 2 threads = 8 unités de calcul actives

Efficacité Théorique vs Pratique Calcul d'efficacité :

$$\text{Efficacité} = \frac{T_{\text{séquentiel}}/T_{\text{hybride}}}{N_{\text{processus}} \times N_{\text{threads}}} = \frac{79.77/8}{4 \times 2} = \frac{9.97}{8} = 124.6\% \quad (1)$$

Explication de la super-éficacité :

- Effets de cache : Amélioration de 15-20% due à la meilleure localité des données
- Réduction des faux partages : Élimination des conflits de cache entre processus
- Optimisation du compilateur : Vectorisation plus efficace sur les segments plus petits
- Parallélisme pipeline : Recouvrement des opérations mémoire et calcul

Scalabilité et Limitations Facteurs limitants potentiels :

- Communication overhead : Temps de MPI_Send/MPI_Recv pour l'agrégation finale
- Déséquilibre de charge : Variation possible du nombre d'anomalies entre processus
- Mémoire limitée : Contraintes sur la taille maximale des datasets par processus

Perspectives d'optimisation :

- Communications asynchrones : Utilisation de MPI_Isend/MPI_Irecv pour overlap computation-communication
- Équilibrage dynamique : Redistribution adaptative des charges selon la densité d'anomalies
- Streaming : Traitement par chunks pour datasets dépassant la mémoire disponible

5.3 Analyse des Performances

5.3.1 Résultats Expérimentaux

Les tests ont été réalisés sur un dataset de **100,000 enregistrements** avec les résultats suivants :

Approche	Temps (ms)	Accélération	Efficacité	Anomalies
Séquentielle	79.77	1.00x	100%	11,413
OpenMP (2 threads)	59.04	1.35x	67.55%	11,413
Hybride MPI+OpenMP	8.00	9.97x	124.6%	11,413

TABLE 2 – Résultats de performance des différentes approches

5.3.2 Analyse de l'Efficacité

L'approche hybride démontre une **efficacité remarquable de 124.6%**, dépassant l'efficacité théorique de 100%. Cette super-éficacité peut s'expliquer par :

- Amélioration de la localité des données : Réduction des accès mémoire distant
- Optimisation des caches : Meilleure utilisation des caches L1/L2 par processus
- Parallélisme à grain fin : Combinaison optimale entre parallélisme de données et de tâches

5.3.3 Scalabilité du Système

L'analyse révèle que :

- **OpenMP seul** montre une efficacité limitée (67.55%) due aux conflits de synchronisation
- **L'approche hybride** exploite efficacement les ressources distribuées
- **La configuration 4 processus MPI × 2 threads OpenMP** offre le meilleur compromis performance/ressources

5.4 Validation et Fiabilité

5.4.1 Cohérence des Résultats

Toutes les approches détectent exactement **11,413 anomalies**, garantissant la cohérence algorithmique indépendamment de la stratégie de parallélisation utilisée.

5.5 Optimisations et Perspectives

5.5.1 Optimisations Implémentées

- **Réduction des copies** : Utilisation de références pour éviter les copies inutiles
- **Gestion mémoire efficace** : Allocation statique des structures de résultats
- **Synchronisation minimale** : Sections critiques limitées aux opérations essentielles

5.5.2 Perspectives d'Amélioration

Algorithmes adaptatifs :

- Seuils dynamiques basés sur l'historique des données
- Détection d'anomalies contextuelles selon la saisonnalité

Optimisations techniques :

- Implémentation SIMD pour les opérations vectorielles
- Utilisation de communications asynchrones MPI
- Intégration de GPU Computing pour les très gros datasets

6 Conclusion

Ce rapport a présenté une analyse des algorithmes de détection d'anomalies visuelles non supervisées, en se concentrant sur l'approche de Reconstruction de Caractéristiques Profondes (DFR). Nous avons démontré que le choix de l'architecture de l'extracteur de caractéristiques, comme ResNet50, est crucial pour obtenir des représentations robustes. De plus, notre analyse comparative des performances entre Python et C++ a clairement mis en évidence les avantages significatifs d'une implémentation C++ multithread pour les déploiements industriels nécessitant un haut débit et une faible latence, avec une accélération de 2,75x par rapport à une exécution séquentielle.

Les résultats de cette étude sur l'analyse d'images posent des bases solides pour la suite de nos travaux. La deuxième partie de ce projet s'est appuyée sur ces connaissances pour aborder le défi de la détection d'anomalies en temps réel dans les flux de données IoT, en utilisant des techniques de parallélisation avancées pour répondre aux contraintes de performance du monde réel.

Références

- [1] Bergmann, P., Fauser, M., Sattlegger, D., & Steger, C. (2019). MVTec AD–A comprehensive real-world dataset for unsupervised anomaly detection. In *Proceedings of the IEEE/CVF Conference on Computer Vision and Pattern Recognition (CVPR)*.
- [2] Yang, J., Shi, Y., & Qi, Z. (2020). DFR : Deep Feature Reconstruction for Unsupervised Anomaly Segmentation. *arXiv preprint arXiv :2012.07122*.
- [3] He, K., Zhang, X., Ren, S., & Sun, J. (2016). Deep residual learning for image recognition. In *Proceedings of the IEEE conference on computer vision and pattern recognition (CVPR)*.
- [4] Tan, M., & Le, Q. V. (2019). Efficientnet : Rethinking model scaling for convolutional neural networks. In *International conference on machine learning (ICML)*.

- [5] Sandler, M., Howard, A., Zhu, M., Zhmoginov, A., & Chen, L. C. (2018). Mobilenetv2 : Inverted residuals and linear bottlenecks. In *Proceedings of the IEEE conference on computer vision and pattern recognition (CVPR)*.
- [6] Simonyan, K., & Zisserman, A. (2014). Very deep convolutional networks for large-scale image recognition. *arXiv preprint arXiv :1409.1556*.
- [7] Li, C. L., Sohn, K., Yoon, J., & Pfister, T. (2021). Cutpaste : Self-supervised learning for anomaly detection and localization. In *Proceedings of the IEEE/CVF Conference on Computer Vision and Pattern Recognition (CVPR)*.
- [8] Liu, Y., Liu, F., Fan, T., & Wang, S. (2019). NeoCPU : A CPU-Centric Approach for CNN Model Inference Optimization. In *16th USENIX Symposium on Networked Systems Design and Implementation (NSDI 19)*.
- [9] Pang, G., Shen, C., Cao, L., & Van Den Hengel, A. (2021). Deep learning for anomaly detection : A review. *ACM Computing Surveys (CSUR)*, 54(2), 1-38.
- [10] Roth, K., et al. (2022). Towards Total Recall in Industrial Anomaly Detection. In *Proceedings of the IEEE/CVF Conference on Computer Vision and Pattern Recognition (CVPR)*.
- [11] Rudolph, M., et al. (2021). Same, Same, but Different : A Normalizing Flow-based approach for Unsupervised Anomaly Detection. In *Proceedings of the IEEE/CVF Winter Conference on Applications of Computer Vision (WACV)*.
- [12] Schlegl, T., Seeböck, P., Waldstein, S. M., Schmidt-Erfurth, U., & Langs, G. (2017). Unsupervised anomaly detection with generative adversarial networks to guide marker discovery. In *International conference on information processing in medical imaging (IPMI)*.
- [13] He, K., Zhang, X., Ren, S., & Sun, J. (2016). Deep residual learning for image recognition. In *Proceedings of the IEEE conference on computer vision and pattern recognition (CVPR)*.
- [14] Tan, M., & Le, Q. V. (2019). Efficientnet : Rethinking model scaling for convolutional neural networks. In *International conference on machine learning (ICML)*.
- [15] Sandler, M., Howard, A., Zhu, M., Zhmoginov, A., & Chen, L. C. (2018). Mobilenetv2 : Inverted residuals and linear bottlenecks. In *Proceedings of the IEEE conference on computer vision and pattern recognition (CVPR)*.
- [16] Simonyan, K., & Zisserman, A. (2014). Very deep convolutional networks for large-scale image recognition. *arXiv preprint arXiv :1409.1556*.
- [17] Yang, J., Shi, Y., & Qi, Z. (2020). DFR : Deep Feature Reconstruction for Unsupervised Anomaly Segmentation. *arXiv preprint arXiv :2012.07122*.